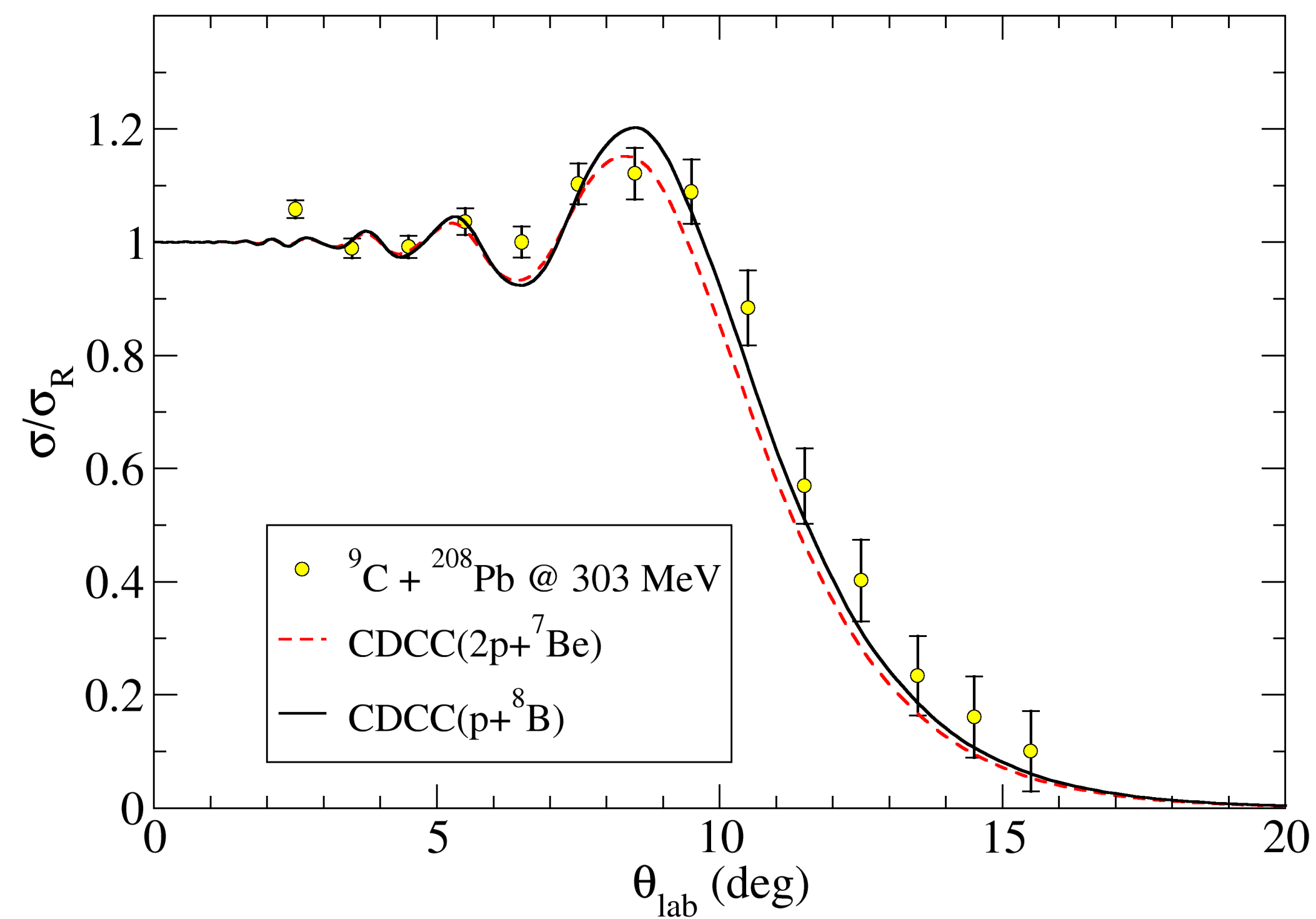
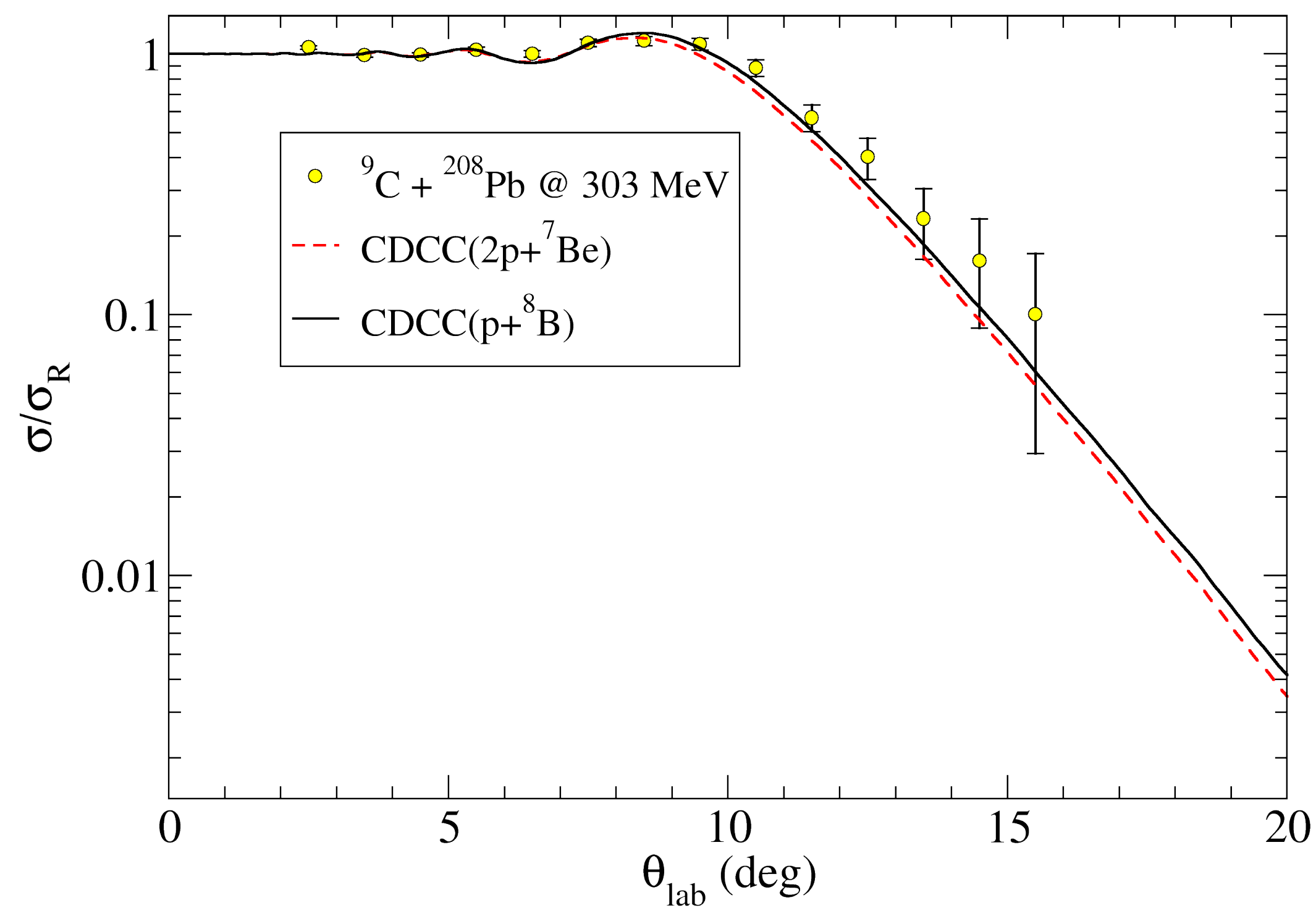


# 兰州近代物理研究所

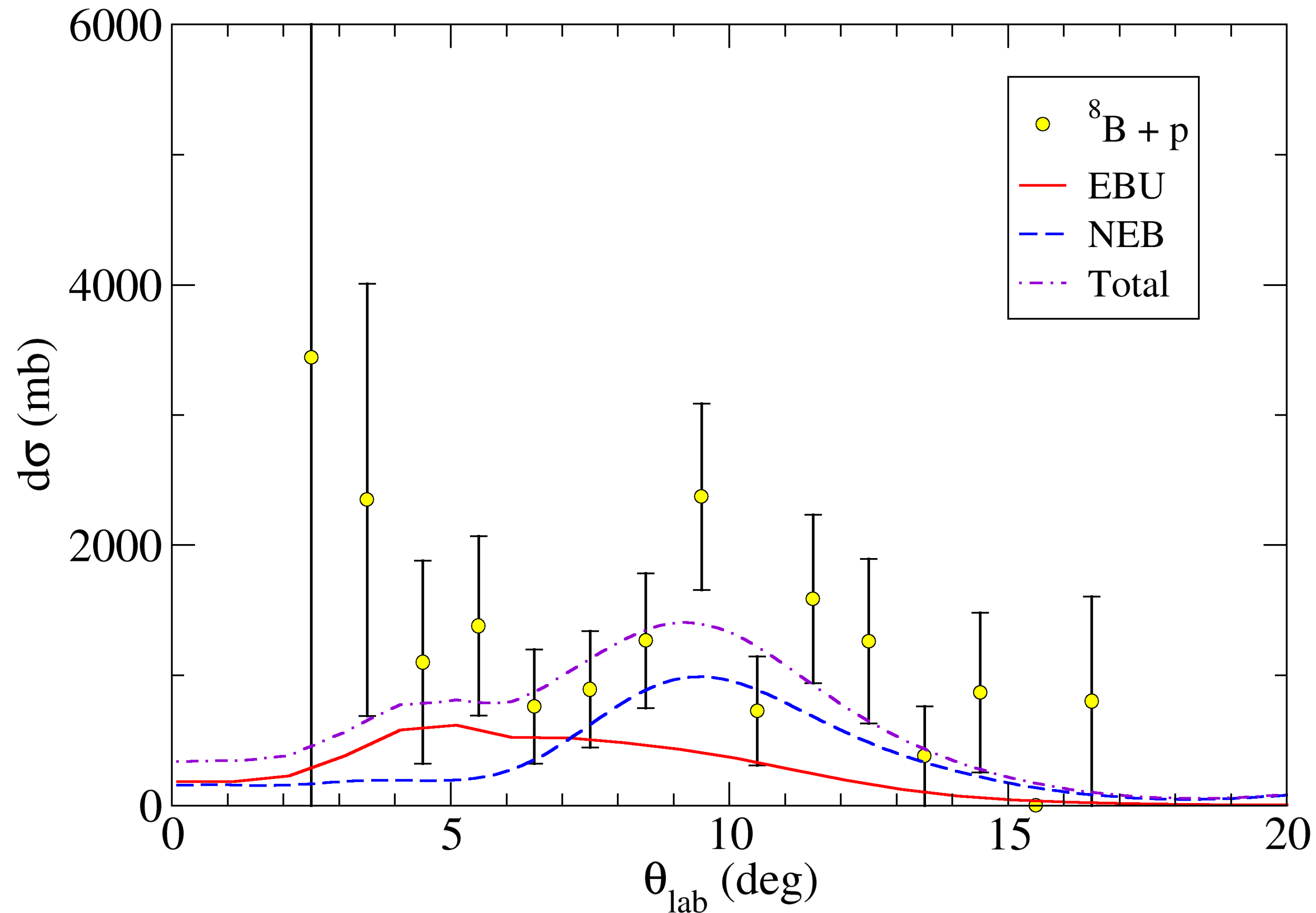
# Calculation

使用两种不同的构型 ( $p + {}^8\text{B}$ ,  $2p + {}^7\text{Be}$ ) 计算 ${}^9\text{C}$ 的弹性散射截面



# Calculation

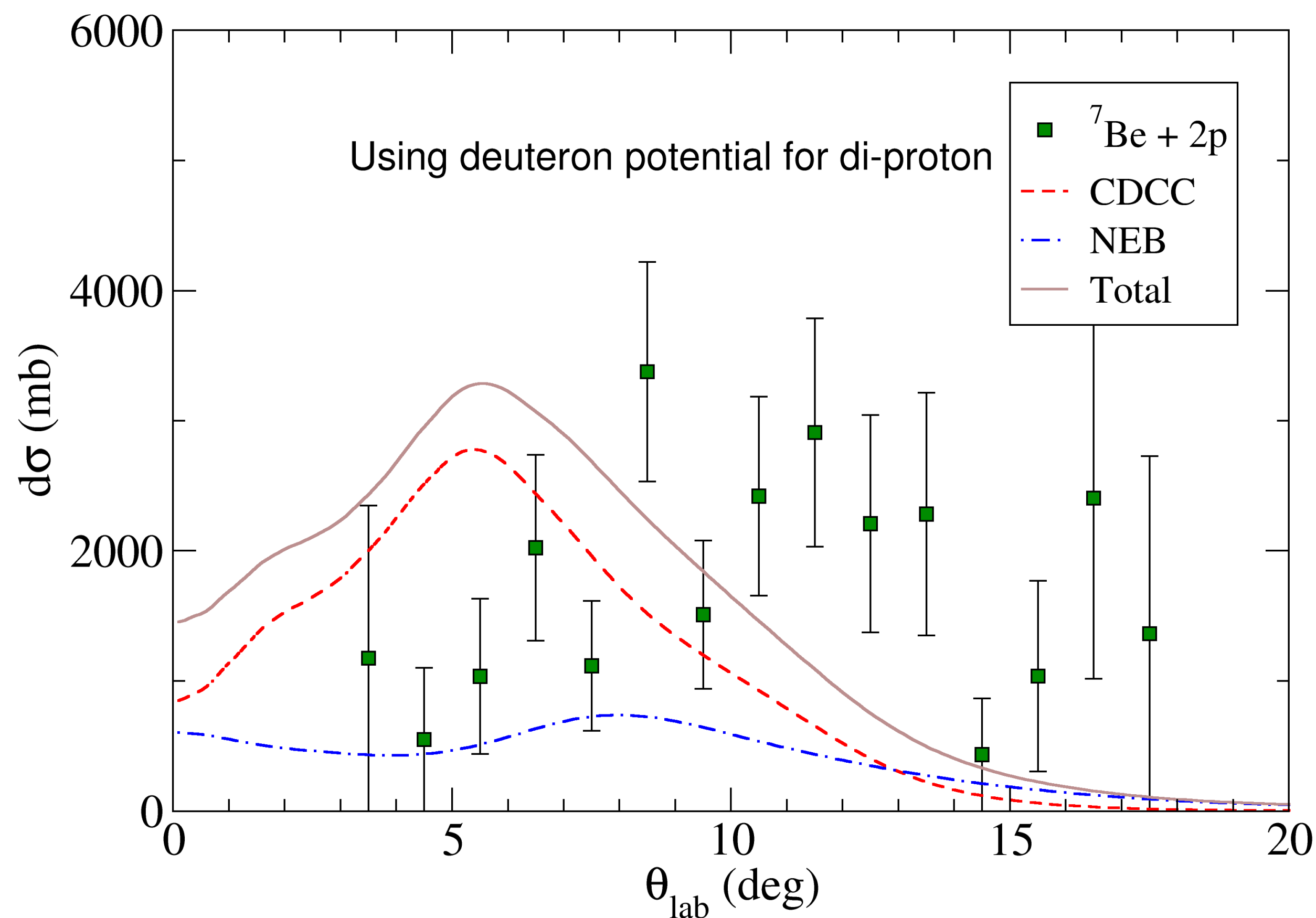
$(p + {}^8\text{B})$  计算 ${}^8\text{B}$ 的弹性散射截面,  ${}^8\text{B}$ 与 ${}^9\text{C}$ 的势使用系统学单折叠势。



针对 ${}^8\text{B}$ 去弹破裂截面偏低, 可能的原因是,  ${}^8\text{B}$ 也是一个弱束缚核导致模型可靠性存在疑问。但总体上形状符合的很好。

# Calculation

$(2p + {}^7\text{Be})$  计算 ${}^7\text{Be}$ 的弹性散射截面,  ${}^7\text{Be}$ 与 ${}^9\text{C}$ 的势使用系统学单折叠势。



对于CDCC与IAV模型来说, 将两个质子看作一个粒子的处理方法并不可靠。这是由于两个质子之间不存在束缚态, 并且有库仑力相互排斥。

# Experiment

---

## 安装方硅探测器



# Experiment

---

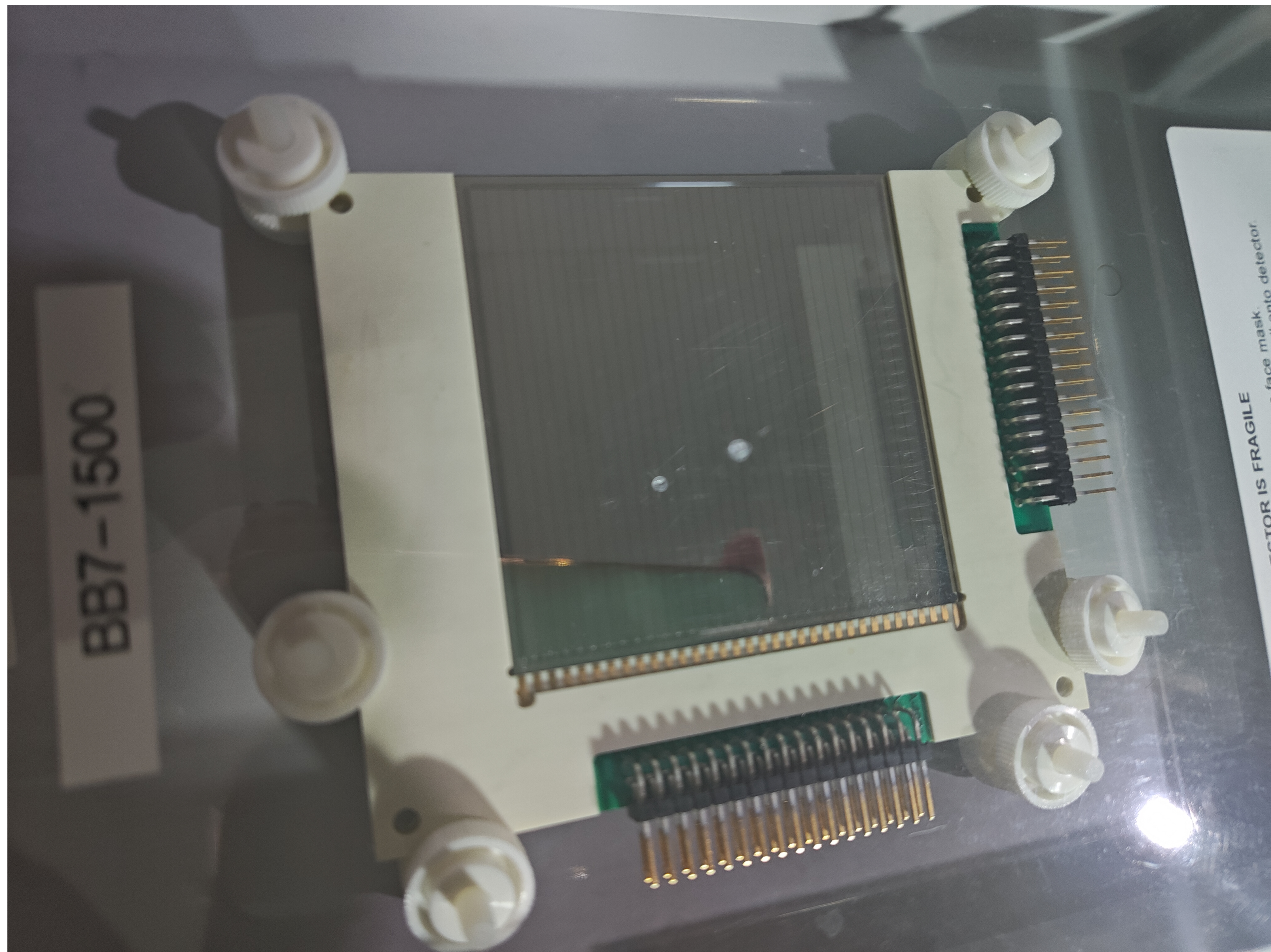
硅条与 $\alpha$ 源



# Experiment

---

## 硅条探测器



# Experiment

## 实验仪器概况



# Experiment

---

## 辐射剂量监控



# Experiment

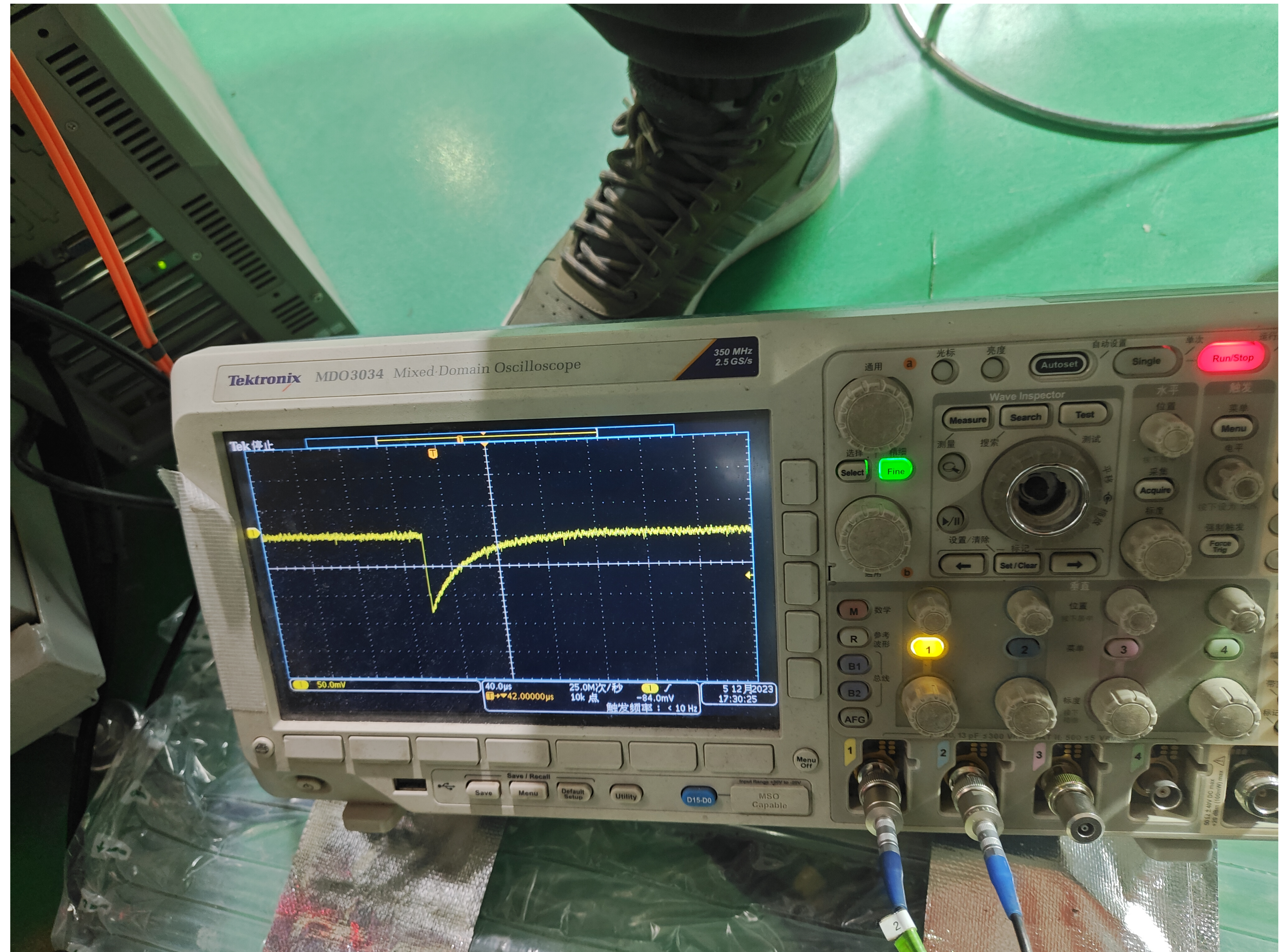
---

## 测试探测器



# Experiment

$\alpha$ 粒子信号



# Food

---

